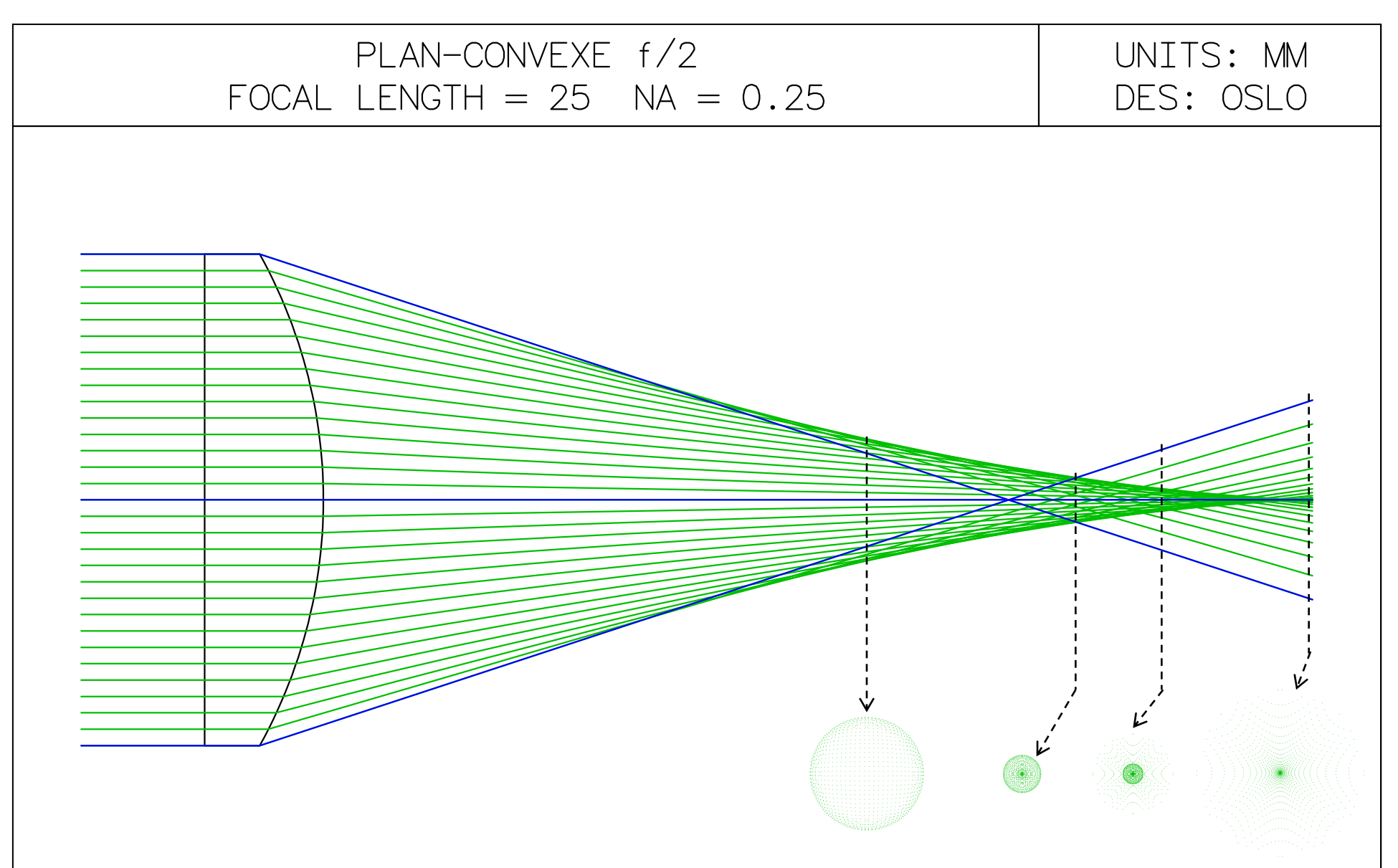


## **Chapitre 3**

## L'aberration sphérique



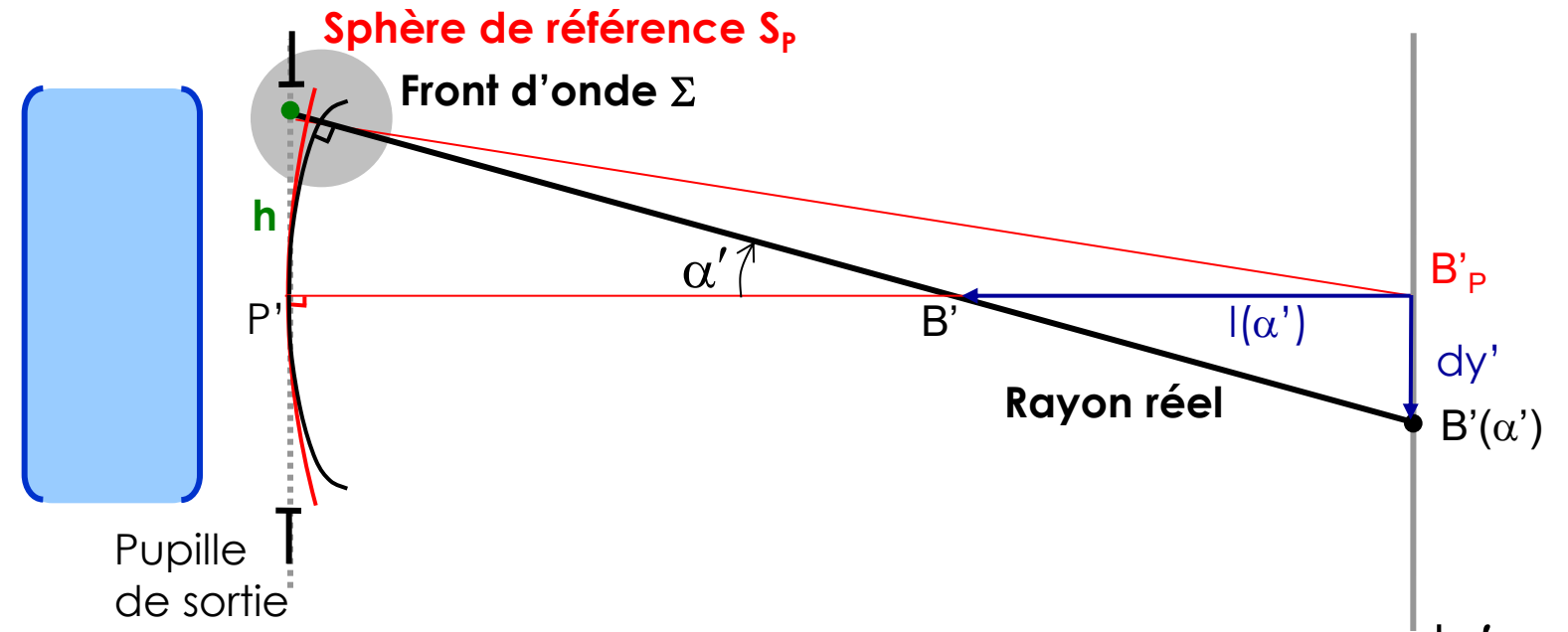
# Etude expérimentale





# Relations générales

Ecart normal: 
$$\Delta(\alpha') = \Delta_{\text{max}} \left( \frac{\alpha'}{\alpha'_{\text{max}}} \right)^{2p}$$
 (p ≥ 2) écart par rapport à la sphère S<sub>P</sub> centrée en B'<sub>P</sub>



Aberration sphérique longitudinale :  $I(\alpha')$ 

longitudinale :  $I(\alpha')$  transverse :  $dy'(\alpha')$   $\Delta(\alpha') = \int_{\alpha'}^{|dy'| = -|(\alpha')\tan\alpha'} - |(\xi)\sin\xi \,d\xi$ 

$$I(\alpha')$$
 est une fonction paire et  $I(0)=0$ 

$$I(\alpha') = \alpha \alpha'^2 + \alpha' \alpha'^4 + \dots$$



## Aberration sphérique du 3<sup>e</sup> ordre

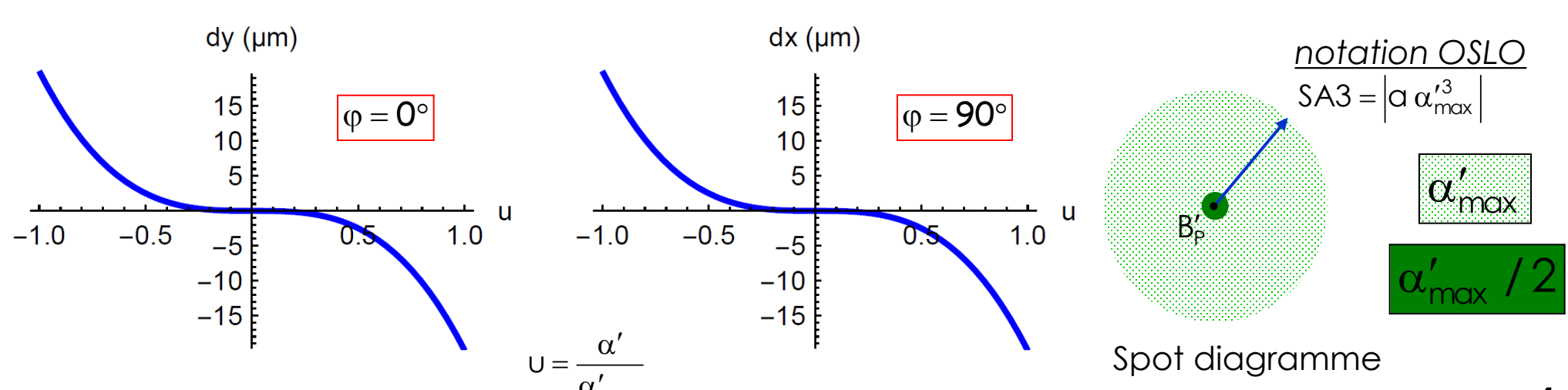
Approche géométrique (valide lorsque | dy' | >>RAiry)

Aberration sphérique <u>longitudinale</u>:

Aberration sphérique transverse:

$$\begin{cases} dy' = -\alpha \alpha'^{3} \cos \varphi \\ dx' = -\alpha \alpha'^{3} \sin \varphi \end{cases}$$

Courbes de tracés de rayons (Ray Intercept Curves):





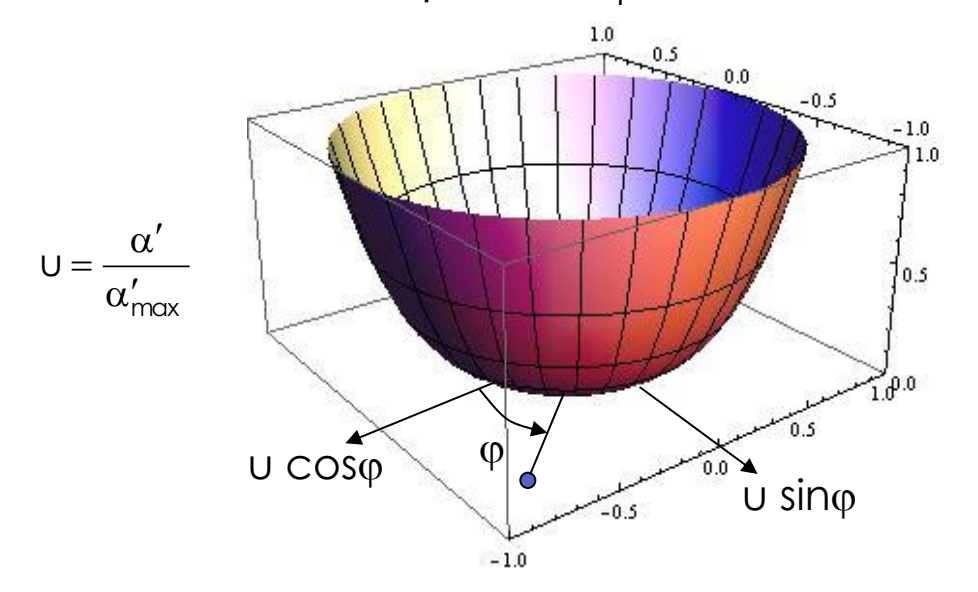
## Aberration sphérique du 3<sup>e</sup> ordre

Approche géométrique (valide lorsque | dy' | >>RAiry)

Aberration sphérique <u>longitudinale</u>:

Aberration sphérique <u>transverse</u>:

Ecart normal / sphère S<sub>P</sub>:



$$\int (\alpha') = \alpha \alpha'^{2}$$

$$\int dy' = -\alpha \alpha'^{3} \cos \varphi$$

$$dx' = -\alpha \alpha'^{3} \sin \varphi$$

$$\Delta = -\frac{1}{4} \alpha \alpha'^{4}$$



## Caustique & cercle de moindre diffusion

Caustique : enveloppe des rayons lumineux lorsque  $(\alpha', \varphi)$  varie

- = lieu des points de tangence des rayons lumineux
- = lieu d'accumulation de la lumière

Toute caustique est constituée de 2 nappes :

- o La nappe tangentielle, obtenue de la façon suivante:
  - On fixe  $\varphi$ , on fait varier  $\alpha'$ ; ceci donne le lieu de T', appelé ligne méridienne
  - On fait varier  $\varphi$ : la méridienne tourne autour de l'axe optique, ce qui donne la nappe tangentielle.  $\searrow$

$$R(\alpha') = 0 \qquad R(\alpha' + d\alpha') = 0$$

- La nappe sagittale, obtenue de la façon suivante:
  - On fixe  $\alpha'$ , on fait varier  $\varphi$ ; ceci donne le lieu de S' (dans le cas de l'aberration sphérique, il s'agit simplement d'un point sur l'axe)
  - On fait varier  $\alpha'$ : on obtient la nappe sagittale (réduite à un segment pour l'aberration sphérique)



# Caustique & cercle de moindre diffusion

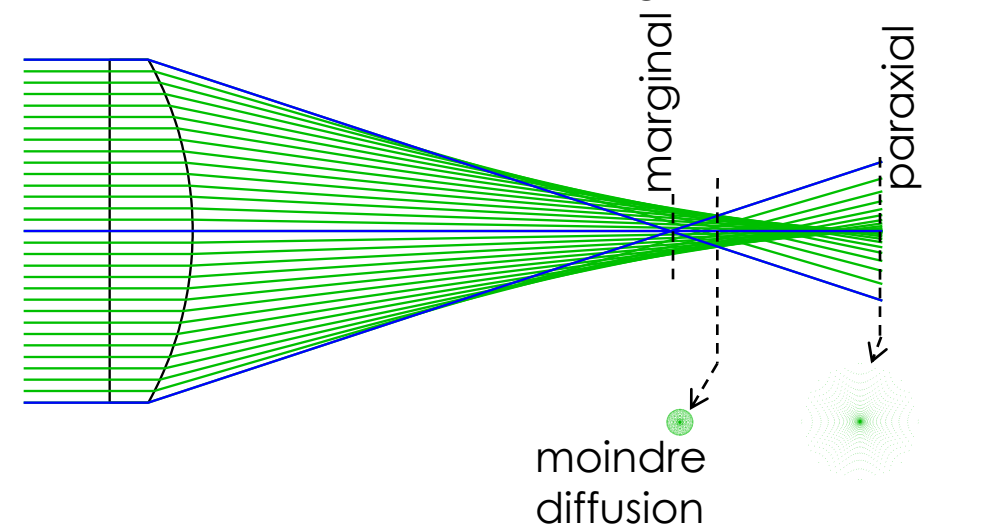
#### Nappe tangentielle à symétrie de révolution

Équations paramétrées de la méridienne (φ=0)  $y' = 2\alpha \alpha'^{3}$  $7' = 3\alpha \alpha'^{2}$ 

$$\begin{cases} y' = 2\alpha \alpha'^3 \\ z' = 3\alpha \alpha'^2 \end{cases}$$

Cercle de moindre diffusion : situé aux 3/4 de la caustique (origine: B'<sub>P</sub>) | dy' | moindre diff. = | dy' | paraxial /4

Nappe sagittale : segment de droite [B'marginal, B'paraxial]





## Meilleur foyer

Meilleur foyer : situé au milieu de [B'<sub>marginal</sub>, B'<sub>paraxial</sub>] (au 3e ordre)

$$\Delta = \Delta_{AS}u^4$$
 par rapport à  $S_P$ 

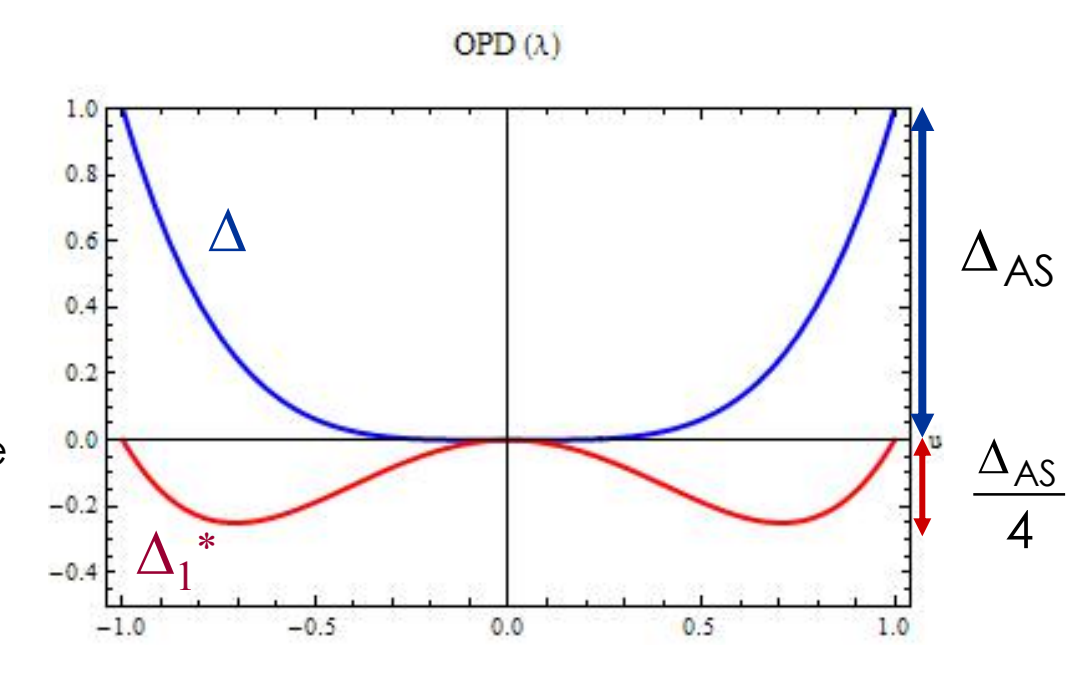
$$\Delta_1 = \Delta_{AS}u^4 + \Delta_{MP}u^2$$
 par rapport à S

$$\Delta_1^* = \Delta_{AS}(u^4 - u^2)$$
 par rapport à  $S^*$ 

Développement sur les polynômes de Zernike

$$\sigma_{\Delta} = \Delta_{AS} \times \frac{4}{6\sqrt{5}}$$

$$\sigma_{\Delta_1^*} = \sigma_{\Delta} / 4$$





## Meilleur foyer

### Meilleur foyer : situé au milieu de [B'<sub>marginal</sub>, B'<sub>paraxial</sub>]

(au 3e ordre)

$$\Delta = \Delta_{AS}u^4$$
 par rapport à  $S_P$ 

$$\Delta_1 = \Delta_{AS}u^4 + \Delta_{MP}u^2$$
 par rapport à S

$$\Delta_1^* = \Delta_{AS}(u^4 - u^2)$$
 par rapport à  $S^*$ 

Développement sur les polynômes de Zernike

$$\sigma_{\Delta} = \Delta_{AS} \times \frac{4}{6\sqrt{5}}$$

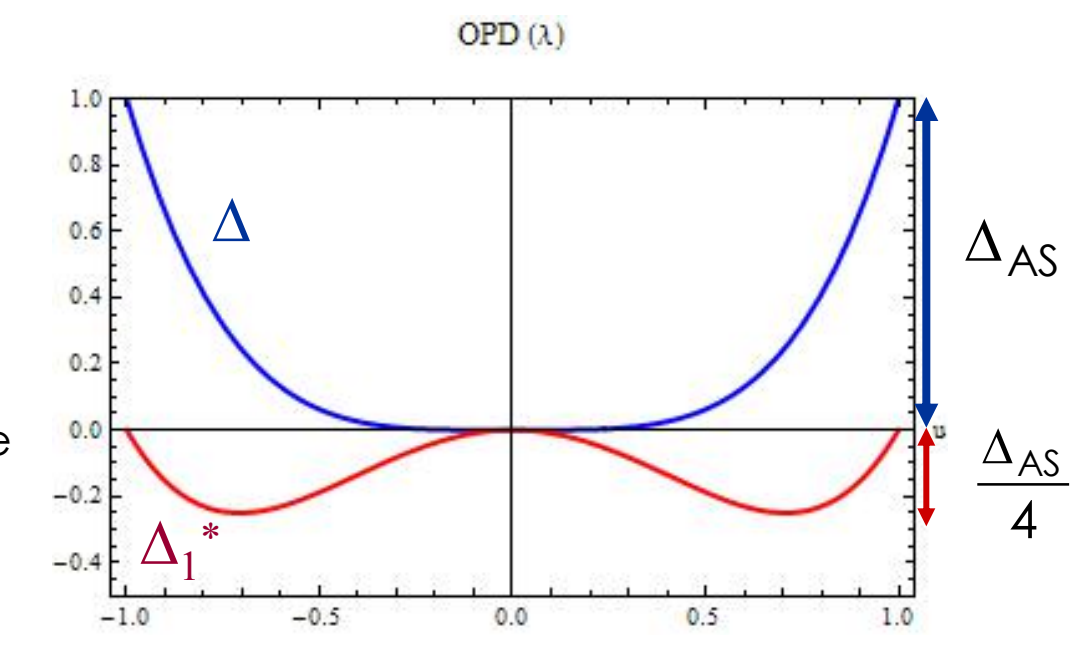
$$\sigma_{\Delta_1^*} = \sigma_{\Delta} / 4$$



$$u^{2} = \frac{1}{2\sqrt{3}} Z_{2}^{0}(u) + cste Z_{0}^{0}(u)$$

$$u^{4} = \frac{1}{6\sqrt{5}} Z_{4}^{0}(u) + \frac{1}{2\sqrt{3}} Z_{2}^{0}(u) + cste Z_{0}^{0}(u)$$

$$\Delta_{1} = \frac{\Delta_{AS}}{6\sqrt{5}} Z_{4}^{0}(u) + \frac{\Delta_{AS} + \Delta_{MP}}{2\sqrt{3}} Z_{2}^{0}(u) + cste Z_{0}^{0}(u)$$



$$\sigma_{\Delta_1}$$
 est minimal lorsque  $\Delta_{AS}+\Delta_{MP}=0$ 



## Meilleur foyer

Meilleur foyer : situé au milieu de [B'marginal, B'paraxial]

(au 3<sup>e</sup> ordre)

$$\Delta = \Delta_{AS}u^4$$
 par rapport à  $S_P$ 

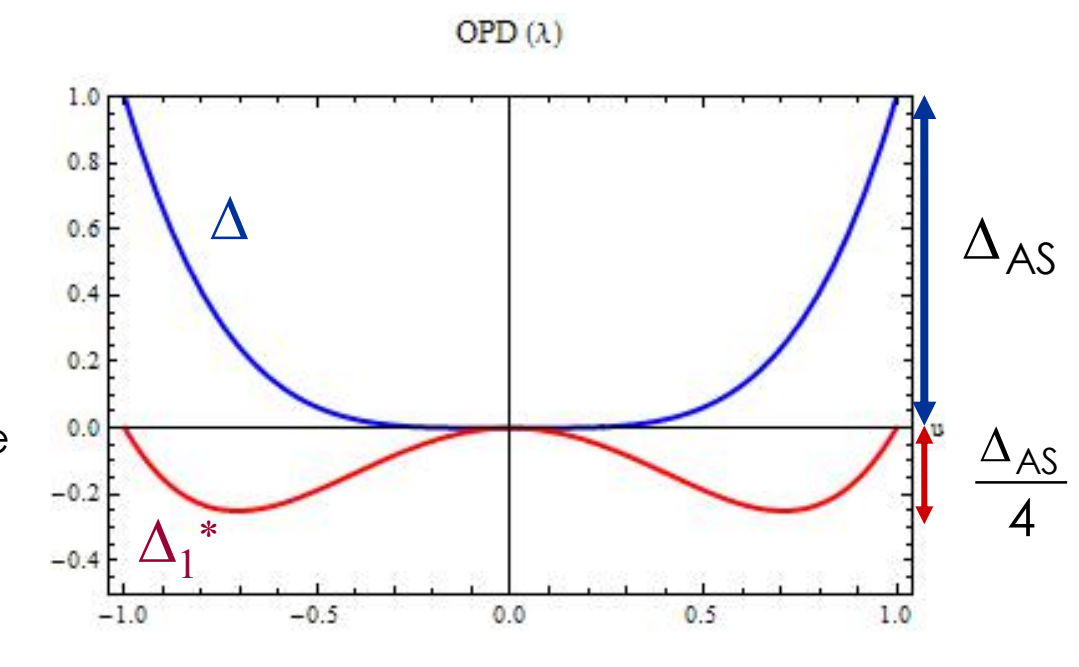
$$\Delta_1 = \Delta_{AS}u^4 + \Delta_{MP}u^2$$
 par rapport à S

$$\Delta_1^* = \Delta_{AS}(u^4 - u^2)$$
 par rapport à  $S^*$ 

Développement sur les polynômes de Zernike

$$\sigma_{\Delta} = \Delta_{AS} \times \frac{4}{6\sqrt{5}} \qquad \sigma_{\Delta_1^*} = \sigma_{\Delta} / 4$$

$$\sigma_{\Delta_1^*} = \sigma_{\Delta} / 4$$



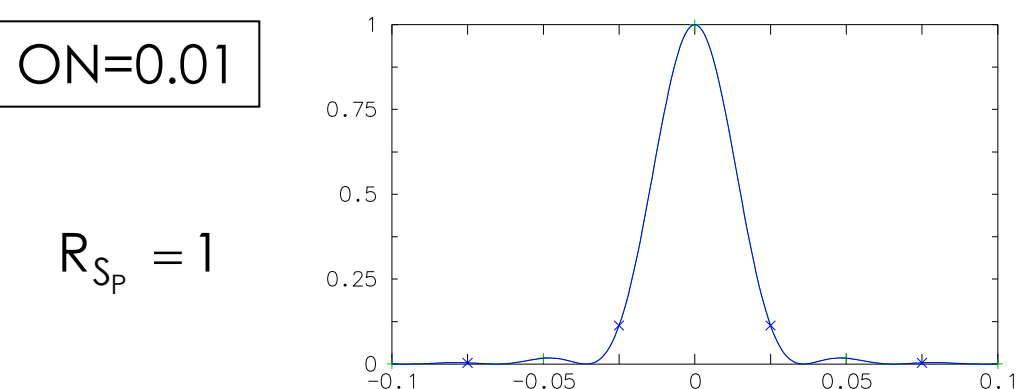
Tolérances selon le critère de Maréchal ( $\sigma_{\wedge} < \lambda/14$ )

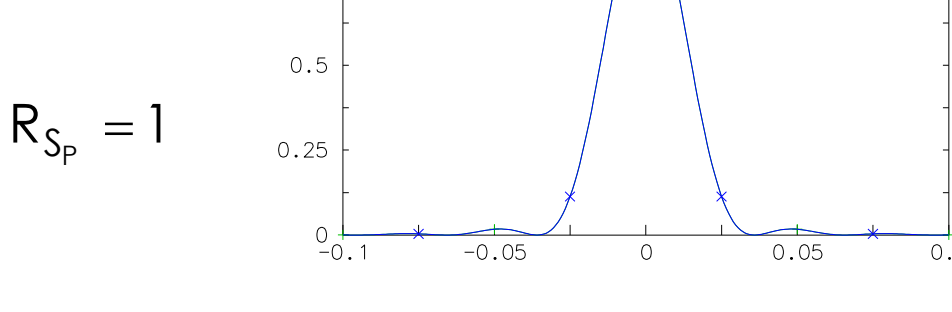
- $\Delta_{AS} < 0.24 \lambda$ • Pour une mise au point à l'image paraxiale :
- $\Delta_{AS} < 0.95\lambda$ Pour une mise au point au meilleur foyer :

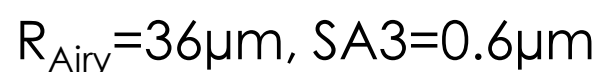


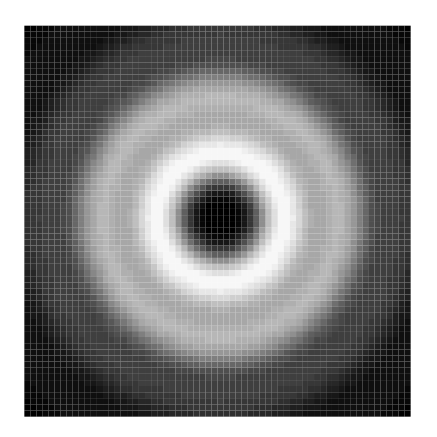
## Approche ondulatoire

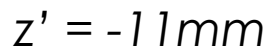
#### **Exemple: lentille PCX f'=150mm**

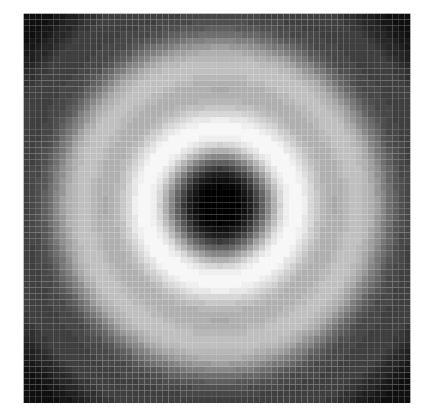




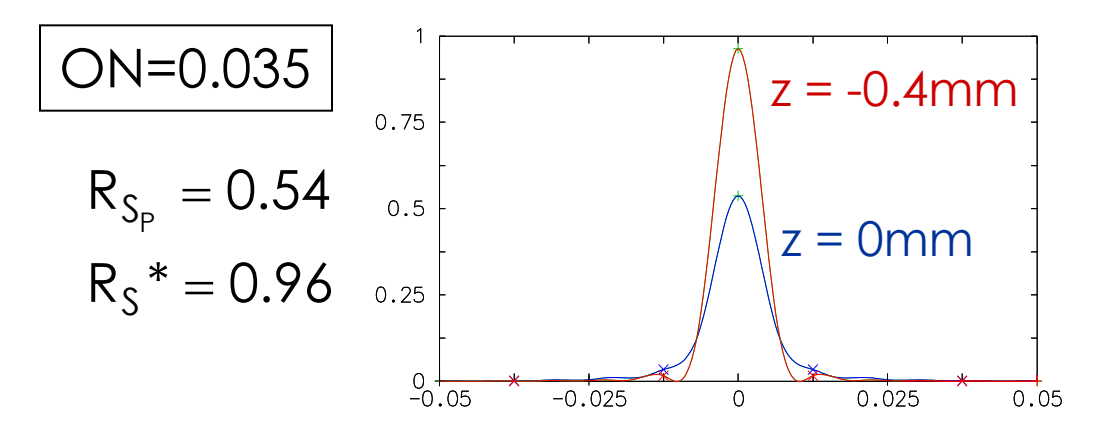




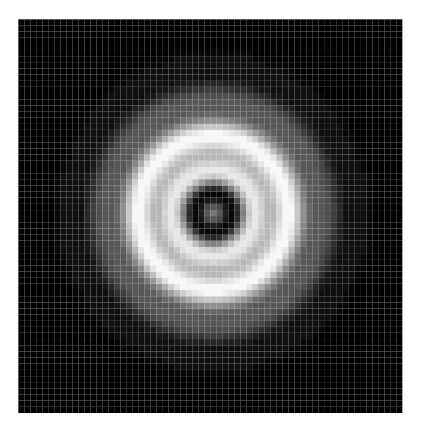




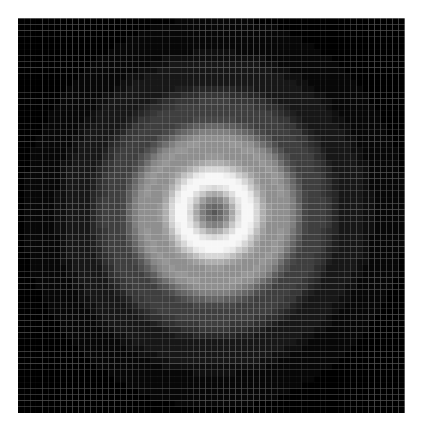
z' = +13mm







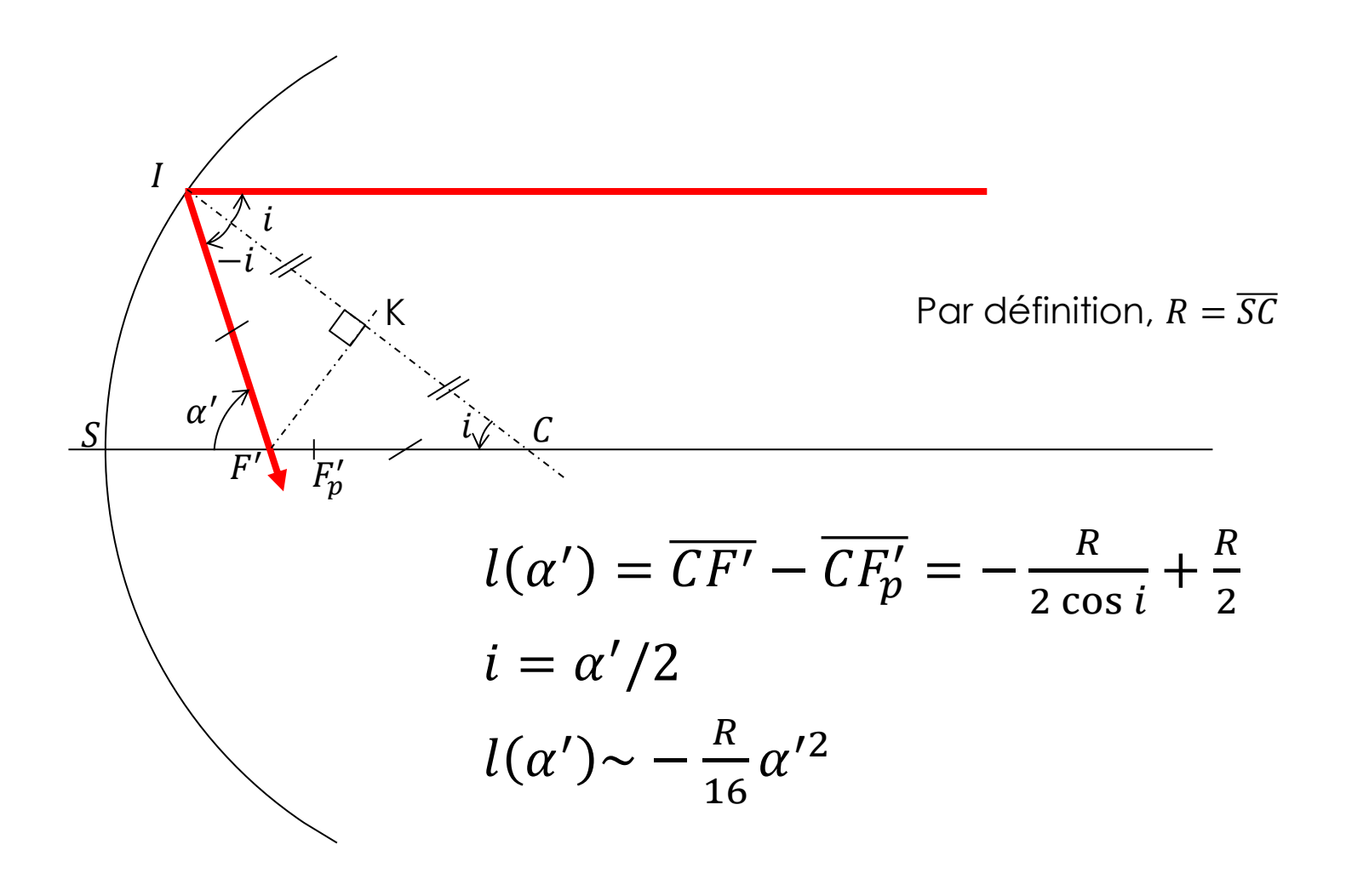
$$z' = -1.4$$
mm



z' = +0.6mm



### Ab. Sph. $3^e$ du Miroir sphérique $\infty \rightarrow F'$

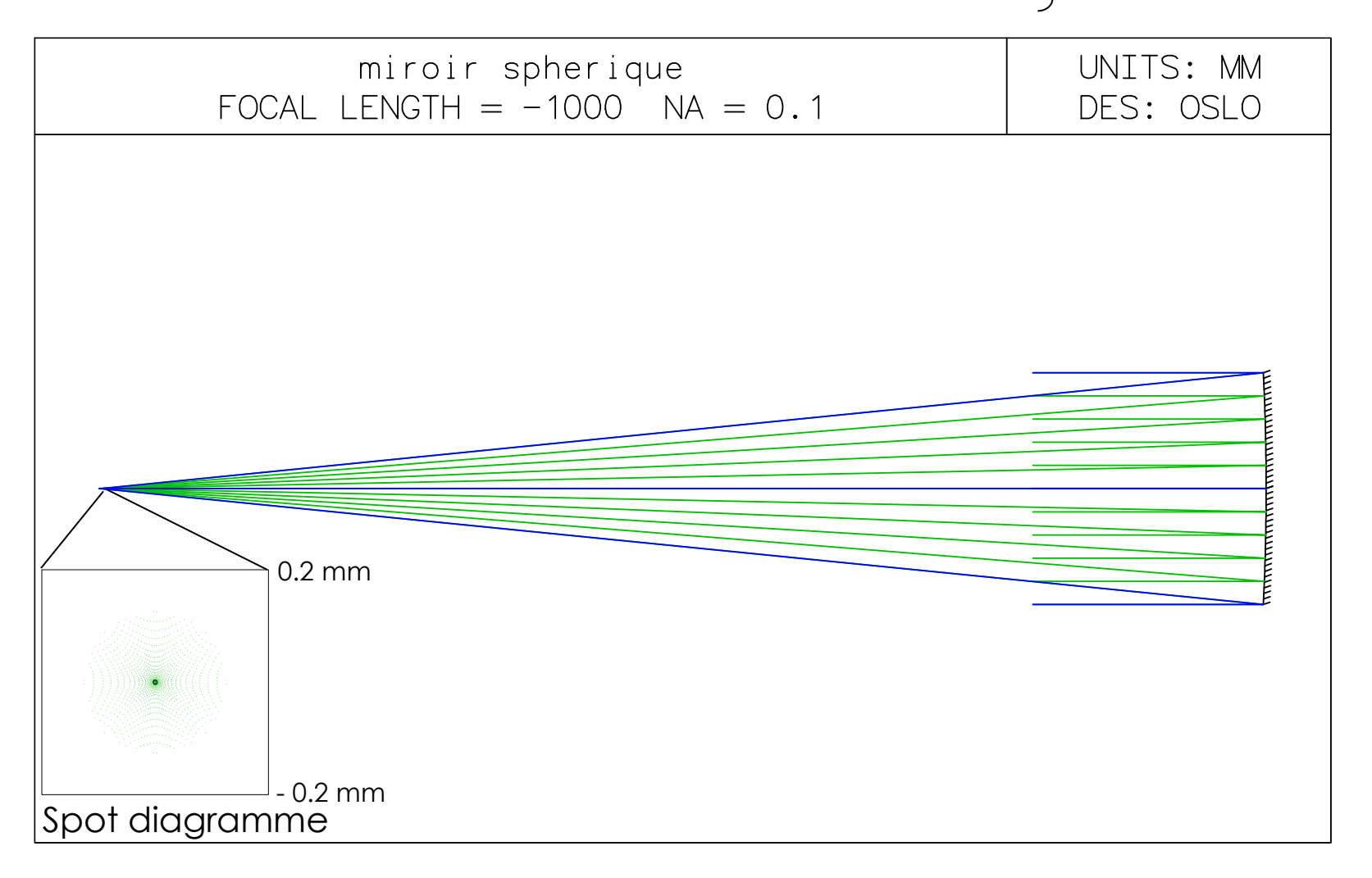




## Ab. Sph. 3e du Miroir sphérique ∞ → F'

Pour un miroir sphérique en conjugaison  $\infty \rightarrow F'$  de rayon de courbure R

$$a = -R/16$$





# Ce qu'il faut retenir de l'aberration sphérique...

- Aberration sphérique d'ordre 3 :
  - Extension le long de l'axe :  $l(\alpha') = a\alpha'^2$
  - Aberration transverse dans le plan paraxial :  $dy' = -a\alpha'^3$
  - Ecart normal par rapport à la sphère paraxiale :  $\Delta = -\frac{1}{4}a\alpha'^4$
- Notion de caustique, positions des différents foyers (paraxial, marginal, moindre diffusion, meilleur foyer)
- Propriétés de l'écart normal par rapport à la sphère centrée au meilleur foyer (forme de l'écart normal, écart-type de la déformation ...)
- Savoir discerner l'apparition d'aberration sphérique en observant la réponse percussionnelle autour du meilleur foyer (annulations de l'intensité sur l'axe ou pas, symétrie de la réponse ou pas ...)
- Pour un miroir sphérique en conjugaison  $\infty \to F'$ , a = -R/16



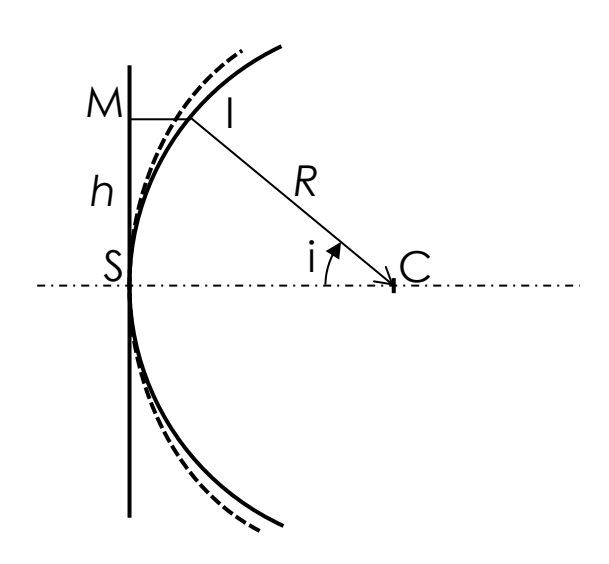
# Exercice 1: aberration sphérique d'un miroir sphérique

Pour un miroir sphérique de focale 1m et ouvert à f/5, éclairé par la lumière à  $\lambda = 587nm$  d'une étoile artificielle,

- 1. Calculer, au foyer paraxial, le diamètre de la tache d'aberration sphérique du 3<sup>e</sup> ordre.
- 2. Le miroir est-il limité par la diffraction dans ces conditions?
- 3. Tracer la courbe de tracé de rayon (Ray Intercept Curve) dy' = f(u) pour une mise au point au foyer paraxial.
- 4. Même question pour une mise au point au foyer de moindre diffusion
- 5. Pour quelle ouverture numérique la tache d'aberration sphérique (au foyer paraxial) a-t-elle un diamètre comparable à celle de la tache d'Airy ?
- Evaluer le rapport de Strehl au meilleur foyer pour cette ouverture numérique réduite.



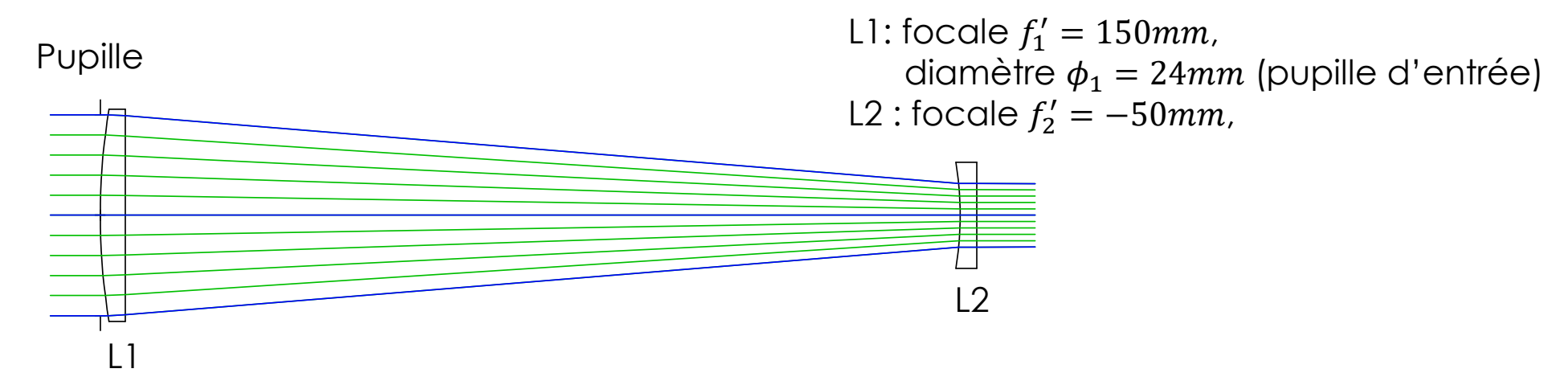
## Exercice 2 : écart entre une sphère et un plan



- 1. Calculer par un développement limité à l'ordre 4 en h l'écart algébrique  $\overline{MI}$  entre le plan et la sphère de rayon R, à la hauteur h.
- 2. Equation de la parabole qui approxime au mieux la sphère?
- 3. Signe de l'écart entre la parabole et la sphère?
- 4. Quelle erreur relative commet-on en confondant la sphère et la parabole ? Evaluer cette erreur relative pour l'angle  $i=30^{\circ}$ .
- 5. Positionner approximativement la parabole sur la figure ci-dessus.



#### Exercice 3 : réglage d'une lunette afocale



La lunette présente essentiellement, sur l'axe et pour  $\lambda = 587nm$ , de l'aberration sphérique du 3<sup>e</sup> ordre. L'écart normal, en bord de pupille et pour une mise au point paraxiale, vaut  $\Delta_{max} = 0.7\lambda$ .

- 1. Evaluer  $\sigma_{\Delta}$  pour cette mise au point.
- 2. Exprimer l'écart normal  $\Delta$  en fonction de h (hauteur d'impact d'un rayon dans la pupille de sortie). Tracer  $\Delta(h)$ .
- 3. En déduire le rayon angulaire de la tache aberrante à l'infini.
- 4. De quelle quantité (et dans quel sens) doit-on déplacer la lentille L2 le long de l'axe pour minimiser l'écart normal RMS ?
- 5. Le système est-il limité par la diffraction dans ces conditions?